

С 343а

3/VIII-65

Б-253

ОБЪЕДИНЕННЫЙ
ИНСТИТУТ
ЯДЕРНЫХ
ИССЛЕДОВАНИЙ

Дубна

2187



Э.М. Барлит

ОБ УГЛОВЫМ РАСПРЕДЕЛЕНИИ
РОТАЦИОННЫХ γ -КВАНТОВ

ЛАБОРАТОРИЯ ЯДЕРНЫХ РЕАКЦИЙ

1965

2197

3395/2 2P.

Э.М. Барлит

ОБ УГЛОВОМ РАСПРЕДЕЛЕНИИ
РОТАЦИОННЫХ γ -КВАНТОВ



Изучение γ -излучения в реакциях между сложными ядрами является одним из основных средств исследования механизма реакции и свойств ядер. Так, например, полученные недавно ^{1,2/} спектры γ -квантов, испускаемых в реакциях, в которых основными конечными продуктами являются деформированные четно-четные ядра, позволили установить наличие ротационной полосы со спином 16 и сделать существенные заключения о возбужденных состояниях ядер с большим угловым моментом.

Наряду со спектрами важная информация может быть получена также из углового распределения γ -квантов. Каскад частиц и γ -квантов, снимающих возбуждение ядра, можно приближенно разбить на два этапа: статистический, определяемый средними характеристиками по большому числу состояний ядра, и завершающий, в котором основную роль играют индивидуальные свойства состояний. Частным случаем последнего является ротационный каскад. В процессе статистического этапа уносится некоторая часть углового момента и изменяется исходная ориентация угловых моментов в плоскости, перпендикулярной пучку налетающих частиц. Такое "разбалтывание" приводит к уменьшению анизотропии в угловом распределении γ -квантов по сравнению со случаем, когда моменты лежат в плоскости, перпендикулярной пучку, и по этому уменьшению можно судить о статистическом этапе распада возбужденного ядра.

В настоящей работе рассматривается угловое распределение ротационных γ -квантов, испускаемых после статистического этапа каскада. Для решения задачи применяется классическое описание, так как можно показать (см., например, ^{3/}), что классическое и квантово-механическое рассмотрение должны давать в подобных случаях близкие результаты. Это означает, что угловые моменты считаются классическими векторами, распределены в пространстве непрерывно и в результате испускания ротационного γ -кванта изменяют только свою величину.

Вероятность вылета γ -кванта в направлении \vec{n} :

$$W(\vec{n}) = \int W(\vec{j}, \vec{n}) P(\vec{j}) d\vec{j}, \quad (1)$$

где $W(\vec{j}, \vec{n})$ - вероятность испускания γ -кванта в направлении \vec{n} ядром с угловым моментом \vec{j} , $P(\vec{j})$ - вероятность найти ядро в состоянии с угловым моментом \vec{j} .

Функцию $W(\vec{j}, \vec{n})$ в случае E2-переходов между вращательными уровнями ядра можно записать [4] в виде:

$$W(\vec{j}, \vec{n}) = \frac{5}{16\pi} [1 - \cos^4(\vec{j}, \vec{n})] \quad (2)$$

Вероятность $P(\vec{j})$ можно выразить через распределение $P(j_0)$ по величине углового момента в плоскости, перпендикулярной пучку:

$$P(\vec{j}) = \int P(j_0) w(\vec{j}_0, \vec{j}) \delta(\vec{k} \cdot \vec{j}_0 / i_0) d\vec{j}_0 \quad (3)$$

где δ - дельта-функция, \vec{k} - орт оси, направленной вдоль пучка, $w(\vec{j}_0, \vec{j})$ - вероятность ядру с угловым моментом \vec{j}_0 после статистического этапа каскада оказаться в состоянии с угловым моментом \vec{j} . Точный расчет $w(\vec{j}_0, \vec{j})$ сложен и громоздок, и так как для нашей задачи несущественны детали распределения, $w(\vec{j}_0, \vec{j})$ можно взять в любой форме, характеризующейся двумя первыми моментами. Для определенности возьмем гауссову форму:

$$w(\vec{j}_0, \vec{j}) = \frac{1}{(2\pi s_0^2)^{3/2}} e^{-\frac{(\vec{j}_0 - \vec{j})^2}{2s_0^2}} = \frac{1}{(2\pi s_0^2)^{3/2}} e^{-\frac{s_0^2}{2s_0^2}} \quad (4)$$

Подставляя (2) - (4) в (1), получим:

$$W(\vec{n}) = \int P(j_0) j_0 dj_0 \int \delta(\vec{k} \cdot \vec{j}_0 / i_0) d\Omega_{j_0} \int e^{-\frac{s_0^2}{2s_0^2}} s^2 ds \int [1 - \cos^4(\vec{j}, \vec{n})] d\Omega_n \quad (5)$$

Задача сводится к вычислению непосредственно $\cos(\vec{j}, \vec{n})$.

Выполнение соответствующих выкладок (см. приложение) дает для определенности j :

$$W(\theta, s_0, j_0) = 1 - a_1 \sin^2 \theta - a_2 \sin^4 \theta = 1 - \frac{C_1}{1 - C_0} \sin^2 \theta - \frac{C_2}{1 - C_0} \sin^4 \theta \quad ,$$

где θ - угол между направлением пучка и вылета y -кванта,

$$C_0 = \frac{9}{2} x_0^4 - \frac{3}{\sqrt{2}} x_0^3 (1 + 3x_0^2) \frac{J(x_0)}{\sqrt{\pi}} \quad J(x_0) = \int_0^\infty \frac{e^{-\frac{x^2}{2}}}{1-x} dx \quad (8)$$

$$C_1 = 3x_0^2 - \frac{45}{2} x_0^4 + \frac{9}{\sqrt{2}} x_0^3 (1 + 5x_0^2) \frac{J(x_0)}{\sqrt{\pi}} \quad x_0 = \frac{s_0}{j_0}$$

$$C_2 = \frac{3}{8} [1 - 10x_0^2 + \frac{105}{2} x_0^4 - \frac{15}{\sqrt{2}} x_0^3 (1 + 7x_0^2) \frac{J(x_0)}{\sqrt{\pi}}]$$

Заметим, что $J(x_0)$ удовлетворяет дифференциальному уравнению

$$J'(x_0) - \frac{1}{x_0} J(x_0) = -\sqrt{\frac{\pi}{2}} \frac{1}{x_0} \quad (7)$$

Интересно с физической точки зрения рассмотреть два предельных случая: $x_0 \ll 1$ и $x_0 \gg 1$.

а) $x_0 = \frac{s_0}{j_0} \ll 1$ (угловые моменты мало отклонились от плоскости, перпендикулярной пучку). Из уравнения (7) $J(x_0) = \sqrt{\frac{\pi}{2}} x_0$ и с точностью до членов второго порядка по x_0

$$W(\theta, s_0, j_0) = 1 - \frac{3}{8} \sin^4 \theta - 3 \left(\frac{s_0}{j_0} \right)^2 \left[\sin^2 \theta - \frac{5}{4} \sin^4 \theta \right]. \quad (8)$$

В частности, при $x_0 = 0$ (изотропное распределение угловых моментов в плоскости, перпендикулярной пучку) анизотропия максимальна:

$$W(\theta) = 1 - \frac{3}{8} \sin^4 \theta. \quad (9)$$

б) $x_0 = \frac{s_0}{j_0} \gg 1$ (почти изотропное распределение угловых моментов). Из (7)

$J(x_0) = \sqrt{\frac{\pi}{2}} \frac{j_0}{x_0} \left(1 - \frac{1}{3} \frac{1}{x_0^2} + \frac{1}{15} \frac{1}{x_0^4} - \frac{1}{105} \frac{1}{x_0^6} \right)$ и с точностью до членов второго порядка по $\frac{1}{x_0}$ имеем:

$$W(\theta, s_0, j_0) = 1 - \frac{2}{21} \left(\frac{j_0}{s_0} \right)^2 \sin^2 \theta. \quad (10)$$

В частности, при $x_0 = \infty$ (изотропное распределение угловых моментов) γ -излучение изотропно;

$$W(\theta) = 1. \quad (11)$$

На рис. 1 и 2 представлены рассчитанные на электронно-вычислительной машине зависимости коэффициентов a_1 и a_2 и угловой анизотропии от величины параметра x_0 . Имеется возможность после измерения интенсивности γ -излучения в ротационных максимумах под разными углами найти для определенного j_0 параметр s_0 . Для случаев, когда внесенный угловой момент близок по величине j_0 , величина квадрата этого параметра дает оценку числа статистических переходов, при которых угловой момент изменяется на единицу.

Заметим, что как из классического, так и из строго квантово-механического /5/ рассмотрений следует, что различные γ -кванты ротационного каскада имеют одинаковые угловые распределения. Воспользовавшись этим, можно, вычтя из полной интенсивности γ -излучения какого-либо перехода интенсивность, соответствующую предыдущему, выделить ту часть γ -излучения, которая обязана заселенности различных ротационных состояний после статистического этапа каскада. Именно из этой части γ -излучения и следует определять параметр s_0 , пользуясь формулой (6) для углового распределения, усредненного по образуемому при облучении частицами распределению по j_0 . На рис. 1 приведены значения \bar{a}_1 и \bar{a}_2 , а на рис. 2 - зависимость анизотропии для распределения $P(j_0) \sim j_0$ (вплоть до $j_{0 \max}$), определяемого лишь

геометрическим фактором; s_0 считается одинаковым для всех j_0 . Реальное распределение будет отличаться от записанного, и изучение угловой анизотропии даст некоторую информацию об истинном распределении.

В заключение отметим, что ротационные переходы были выбраны в силу сравнительно простой и надежной их идентификации. Подобное рассмотрение может быть проведено для любого характерного γ -перехода в завершающем этапе каскада девозбуждения.

Пользуясь случаем искренно благодарить В.М.Струтинского за постановку задачи и стимулирующие обсуждения.

П Р И Л О Ж Е Н И Е

Среднее $\cos^4(\vec{n}, \vec{j})$ по телесному углу вектора \vec{j}

$$\overline{\{\cos^4(\vec{n}, \vec{j})\}}_{\Omega_s} = \frac{1}{4\pi} \int \left[\frac{\vec{n} \cdot (\vec{j}_0 - \vec{s})}{|\vec{j}_0 - \vec{s}|} \right]^4 d\Omega_s = \frac{1}{4\pi} \int_0^\pi \frac{\sin \theta_n d\theta_n}{(j_0^2 - 2j_0 s \cos \theta_n + s^2)^2} \int_0^{2\pi} d\phi \sum_{m=0}^4 (-1)^m C_4^m (\vec{n} \cdot \vec{j}_0)^{4-m} (\vec{n} \cdot \vec{s})^m, \quad (\text{П.1})$$

Интегрируя по ϕ , получим,:

$$\overline{\{\cos^4(\vec{n}, \vec{j})\}}_{\Omega_s} = \frac{1}{2} \sum_{m=0}^4 (-1)^m C_4^m x^m \sum_{n=0}^{E(\frac{m}{2})} C_m^{2n} \frac{(2n-1)!!}{(2n)!!} \int \frac{t^{m-2n} (1-t^2)^n dt}{-1(1-2tx+x^2)^2} \sum_{p=0}^n (-1)^{n+p} C_n^p \cos^{2(2-p)} \theta_n, \quad (\text{П.2})$$

где C_4^m , C_m^n , C_n^p - биномальные коэффициенты, $E(\frac{m}{2})$ - целая часть числа $\frac{m}{2}$, $x = \frac{s}{j_0}$; $t = \cos \theta_n$; θ_n, θ_n - углы между \vec{j}_0 и \vec{s} , \vec{n} соответственно.

Среднее $\cos^{2(2-p)} \theta_n$ по изотропному распределению \vec{j}_0 в плоскости, перпендикулярной пучку:

$$\overline{\{\cos^{2(2-p)} \theta_n\}}_{\Omega_{j_0}} = \frac{1}{2\pi} \int \cos^{2(2-p)} \theta_n \delta(k \cdot \vec{j}_0 / j_0) d\Omega_{j_0} = \frac{[2(2-p)-1]!!}{[2(2-p)]!!} \sin^{2(2-p)} \theta_n, \quad (\text{П.3})$$

где θ_n - угол между направлением вылета γ -кванта и осью пучка.

Следовательно, в результате следующего интегрирования в (5) получаем:

$$\overline{\{\cos^4(\vec{n}, \vec{j})\}}_{\Omega_n, \Omega_{j_0}} = \frac{1}{2} \sum_{m=0}^4 (-1)^m C_4^m \sum_{n=0}^{E(\frac{m}{2})} C_m^{2n} \frac{(2n-1)!!}{(2n)!!} J_m^n(x) \sum_{p=0}^n (-1)^{n+p} C_n^p \frac{[2(2-p)-1]!!}{[2(2-p)]!!} \sin^{2(2-p)} \theta_n, \quad (\text{П.4})$$

где

$$J_m^n(x) = x^m \int \frac{t^{m-2n} (1-t^2)^n dt}{-1(1-2tx+x^2)^2}.$$

Собрав коэффициенты при различных степенях $\sin \theta$, получим:

$$\overline{\{\cos^4(j, n)\}}_{\Omega_n, \Omega_0} = \frac{1}{2} \sum_{p=0}^2 (-1)^p \frac{[2(2-p)-1]!!}{[2(2-p)]!!} \sin^{2(2-p)} \theta \sum_{n=p}^2 (-1)^n \frac{1}{2^{2n} p! n! (n-p)!} \quad (\text{П.5})$$

$$\sum_{m=2n}^4 (-1)^n \frac{4!}{(4-m)!(m-2n)!} J_m^n(x) \equiv A_0 + A_1 \sin^2 \theta + A_2 \sin^4 \theta.$$

Элементарное интегрирование по t и затем суммирование дает:

$$A_0 = \frac{3}{16} \left[\frac{1}{8x} (1 - x^2 - x^4 + x^6) \ln \left(\frac{1-x}{1+x} \right)^2 + \left(\frac{1}{2} - \frac{1}{3} x^2 + \frac{1}{2} x^4 \right) \right]$$

$$A_1 = \frac{3}{4} \left[\frac{1}{32x} (-1 - 3x^2 + 9x^4 - 5x^6) \ln \left(\frac{1-x}{1-x} \right)^2 + \frac{1}{8} (-1 + \frac{22}{3} x^2 - 5x^4) \right] \quad (\text{П.6})$$

$$A_2 = \frac{3}{16} \left[\frac{5}{64x} (-1 + 9x^2 - 15x^4 + 7x^6) \ln \left(\frac{1-x}{1+x} \right)^2 + \frac{1}{48} (81 - 190x^2 + 105x^4) \right].$$

Дальнейшее интегрирование в (5) по частям дает:

$$B = j_0^3 \int_0^{\infty} e^{-\frac{x^2}{2x_0^2}} x^2 dx = \sqrt{\frac{\pi}{2}} j_0^3 x_0^3$$

$$B_0 = j_0^3 \int_0^{\infty} A_0 e^{-\frac{x^2}{2x_0^2}} x^2 dx = j_0^3 \left[\sqrt{\frac{\pi}{2}} x_0^3 \frac{y}{2} x_0^4 - \frac{3}{2} x_0^6 (1 + 3x_0^2) J(x_0) \right]$$

$$B_1 = j_0^3 \int_0^{\infty} A_1 e^{-\frac{x^2}{2x_0^2}} x^2 dx = j_0^3 \left[\sqrt{\frac{\pi}{2}} x_0^3 \left(3x_0^2 - \frac{45}{2} x_0^4 \right) + \frac{y}{2} x_0^6 (1 + 5x_0^2) J(x_0) \right] \quad (\text{П.7})$$

$$B_2 = j_0^3 \int_0^{\infty} A_2 e^{-\frac{x^2}{2x_0^2}} x^2 dx = j_0^3 \left[\sqrt{\frac{\pi}{2}} \left(1 - 10x_0^2 + \frac{105}{2} x_0^4 \right) - \frac{15}{2} x_0^6 (1 + 7x_0^2) J(x_0) \right]$$

Нормируя так, чтобы член без синусов равнялся единице, получаем формулу (6) текста.

Л и т е р а т у р а

1. Н. Morinaga and P. C. Gugelot. Nucl. Phys., 46, 210 (1963).
2. F. S. Stephens, N. L. Lark and R. M. Diamond. Nucl. Phys., 63, 82-96 (1965).
3. В. М. Струтинский. Ядерная физика, 4 (1965).
4. Дж. Блатт, В. Вайскопф. Теоретическая ядерная физика, ИИЛ, 1954, гл. Х11.
5. Гамма-лучи. Изд-во АН СССР, 1961, стр. 549.

Рукопись поступила в издательский отдел
29 мая 1965 г.

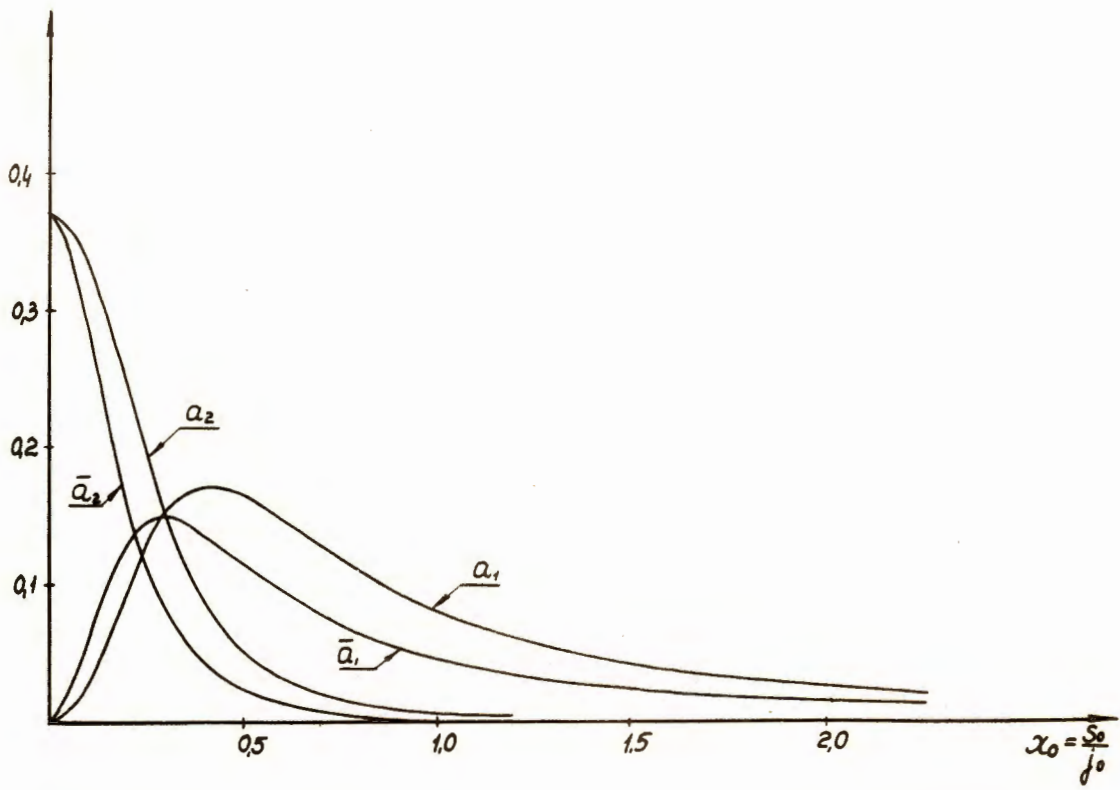


Рис. 1.

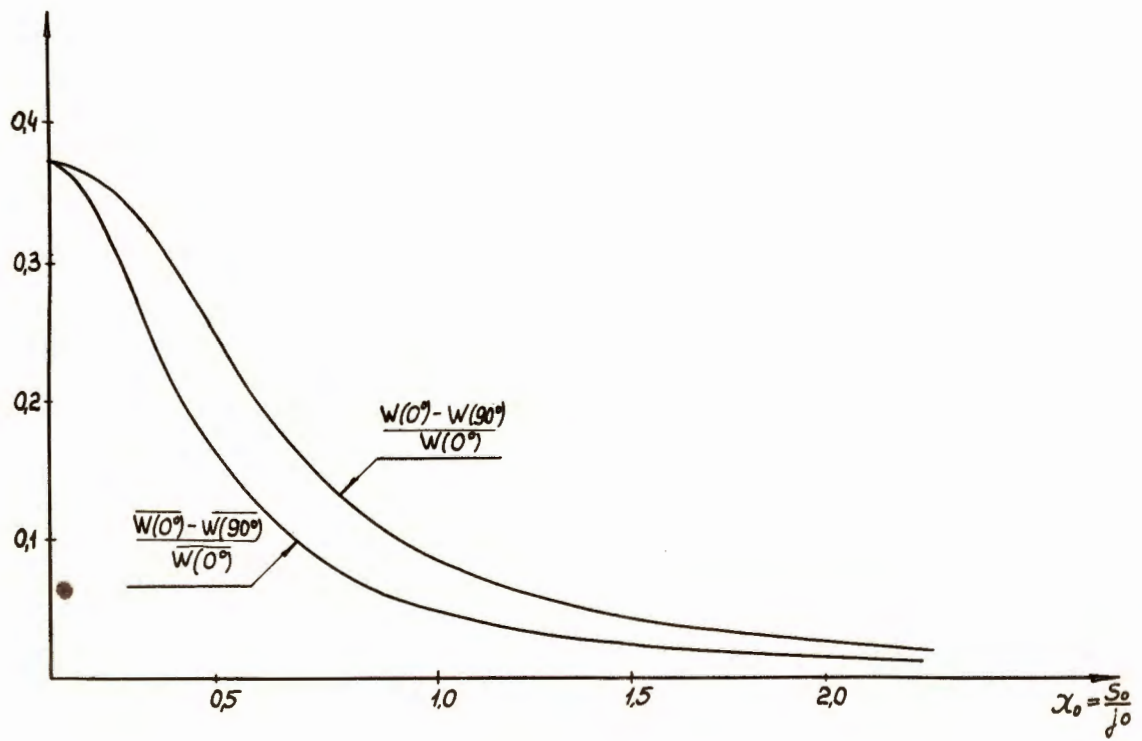


Рис. 2.